

далась ранее \* применительно к шнту со сканированным током. Однако реализовать ее затруднительно, так как величину  $x$  нельзя измерить точно из-за неопределенности  $a$ .

В статье рассмотрена другая зависимость:

$$\Delta = \begin{cases} \Delta_0(t) > 0, & x \in (0, 1); \\ 0, & x \notin (0, 1), \end{cases} \quad (2)$$

обеспечивающая устойчивость при достаточно большом  $\Delta_0$ . Поскольку в отсутствие обратных связей возмущения с  $0 < x < 1$  неустойчивы, а волны  $x \notin (0, 1)$  не раскачиваются, то определить, лежит ли  $x$  в интер-

вале  $(0, 1)$ , можно в том случае, если выключать периодически (с периодом  $T \ll \Omega^{-1}$ ) следящую систему и сравнивать за это время знаки  $\xi$  и  $\dot{\xi}$ . Выполнение зависимости (2) в среднем (за время  $t \gg \Omega^{-1}$ ) оказывается достаточным для устойчивости.

Полный ток в стабилизирующих проводниках должен быть порядка  $\xi_{\min} a^{-1} I$ , где  $\xi_{\min}$  — чувствительность датчиков смещения.

(№ 368/5416. Статья поступила в Редакцию 6/VII 1969 г., аннотация — 20/VIII 1969 г. Полный текст 0,4 а. л., 7 библиографических ссылок.)

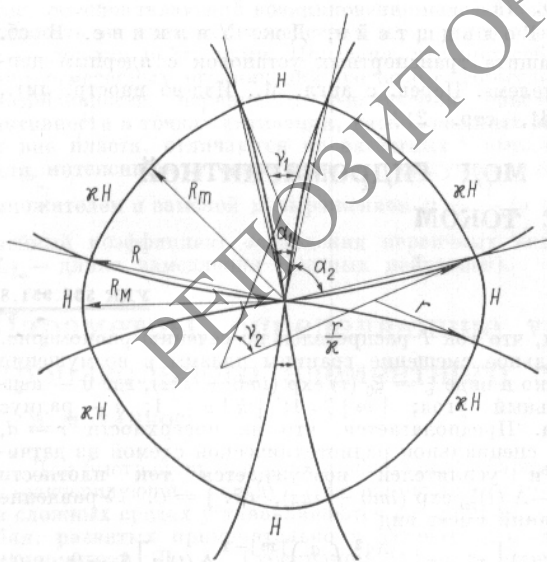
## Геометрия орбит в секторных циклотронах

Е. М. МОРОЗ

УДК 621.384.633.5/.6

Секторные циклотроны были предложены в 1956 г. [1—3]. Их преимущества по сравнению с циклотронами со сплошным магнитом в основном сводятся к возможности получения более глубокой азимутальной вариации магнитного поля, а следовательно, более сильной аксиальной фокусировки частиц и к ряду конструктивных удобств, обеспечиваемых наличием свободных промежутков между магнитными секторами. В настоящей статье на основании формул, полученных в работах [1, 2], выводятся геометрические соотношения между элементами орбиты в секторном циклотроне со ступенчатым полем, однородным в секторах  $B$  и в промежутках между секторами  $\kappa B$ . В частности, получены соотношения

$$\frac{R_M}{r} = 1 + \frac{(1-\kappa)(K_1-K)}{\sqrt{1+[K+\kappa(K_1-K)]^2}}; \quad (1)$$



Форма орбиты в секторном циклотроне.

\* А. И. Морозов, Л. С. Соловьев. ЖТФ, 34, 1566 (1964).

$$\frac{R_m}{r} = \frac{1 - \frac{1-\kappa}{\kappa} \frac{x}{x}}{1 + [K + \kappa(K_1 - K)]^2}; \quad \dim \frac{R_m}{r} = \frac{1 + K_1 K}{1 + K^2}; \quad (2)$$

$$\frac{R}{r} = \sqrt{\frac{1 + K_1^2}{1 + [K + \kappa(K_1 - K)]^2}}; \quad r = \sqrt{\gamma^2 - 1}; \quad (3)$$

$$\frac{\alpha_1}{2} = \operatorname{arctg} K_1; \quad K_1 = -K \frac{1 - \kappa}{\kappa} + \frac{1}{\kappa} \times \operatorname{ctg} \left\{ \frac{\pi(\gamma-1)}{N\gamma(1-\kappa)} + \frac{1}{\gamma} \operatorname{arctg} [K + \kappa(K_{10} - K)] \right\}; \quad (4)$$

$$\lim_{\kappa \rightarrow 0} K_1 = \frac{K_{10}}{\gamma} - \frac{\gamma-1}{\gamma} \left[ \frac{\pi}{N} (1+K^2) - K \right];$$

$$\frac{B}{\langle B \rangle} = \frac{1}{\kappa} - \frac{N(1-\kappa)}{\pi\kappa} \operatorname{arctg} [K + \kappa(K_1 - K)]; \quad (5)$$

$$\lim_{\kappa \rightarrow 0} \frac{B}{\langle B \rangle} = 1 + \frac{N}{\pi} \cdot \frac{K_1 - K}{1 + K^2}.$$

Здесь  $R_M$  — максимальное расстояние от центра циклотрона до орбиты, осуществляющееся в середине магнитного сектора (см. рисунок);  $R_m$  — минимальное расстояние от центра до орбиты, осуществляющееся в середине промежутка между секторами;  $R$  — расстояние от центра до точки пересечения орбиты с краем магнитного сектора;  $r$  — радиус кривизны орбиты в магнитном секторе;  $r/\kappa$  — радиус кривизны орбиты в промежутке между секторами.

Все длины измеряются в «циклотронных единицах».

Одна циклотронная единица равна  $\frac{E_0}{ZeB}$ , где  $Ze$  — заряд иона;  $E_0$  — энергия покоя.

В работе приняты следующие обозначения:  $K = \operatorname{ctg} \frac{\pi}{N}$ ,  $N$  — число магнитных секторов;  $\gamma = \frac{E}{E_0}$ ;  $E$  — полная энергия иона;  $\alpha_1$  — азимутальная протяженность магнитного сектора на радиусе  $R$ ;  $K_{10} =$

$= \operatorname{ctg} \frac{\alpha_{10}}{2}$ ,  $\alpha_{10}$  — азимутальная протяженность сектора в центре, т. е. при  $R = 0$ . Величина  $B/\langle B \rangle$  представляет собой отношение магнитного поля в секторе к среднему значению поля, вычисленному вдоль замкнутой равновесной орбиты. Формулы (3) и (4)

выражают в параметрическом виде  $R(\gamma)$ ,  $\frac{1}{2}\alpha_1(\gamma)$  форму границы магнитного сектора  $R(\alpha_1/2)$  в изохронном циклотроне с однородными полями в секторах и промежутках с учетом релятивизма ионов. Соотношения (1) — (5) иллюстрируются графиками и таблицей, которые можно использовать при расчете циклотронов.

## Метод вычисления траекторий ионов в радиальносекторном циклотроне со ступенчатым полем

Е. М. МОРОЗ

В некоторых задачах, в частности при исследовании возможности вывода частиц с любой орбиты циклотрона, необходимо прослеживать большое число траекторий и каждую просматривать на многих оборотах. Найден метод расчета, обеспечивающий большую производительность (десятки оборотов в секунду). Расчеты проводятся при следующих предположениях: магнитное поле секторного циклотрона ступенчатое; границы секторов и дуантов радиальные, протяженность ускоряющих промежутков пренебрежимо мала; прирост энергии частицы в ускоряющем промежутке считается не зависящим от фазы. Последнее упрощение, во многих случаях оправданное для изохронных циклотронов, сделано для того, чтобы отделить явления, связанные с бетатронными колебаниями, от эффектов фазового движения. Траектория состоит из дуг окружностей, спиравляемых на границах секторов и дуантов. Такой же метод можно применять и в ускорителе с плавной азимутальной вариацией поля, разделяя его на большее число секторов, в каждом из которых поле однородно с заранее заданной точностью.

Пусть в  $i$ -м секторе поле равно  $\omega_i B$ , где  $B$  — максимальное поле циклотрона. В работе выведены рекуррентные формулы для расчета траекторий:

$$r_i = \frac{1}{\omega_i} \sqrt{\gamma_i^2 - 1}; \quad c_i = \sqrt{1 - s_i^2}; \quad (1)$$

## Стабилизация поперечной когерентной неустойчивости на сопротивлении методом автоматической коррекции

Л. А. РОГИНСКИЙ

В циклических ускорителях с большой интенсивностью одной из наиболее опасных неустойчивостей является когерентная поперечная неустойчивость на сопротивлении [1, 2]. Как известно, эта неустойчивость может быть подавлена благодаря эффекту затухания Ландау, однако во многих больших установках механизма затухания Ландау оказывается недостаточно для ее стабилизации. В настоящей работе рассматривается теоретически использование системы автоуправления по пучку для стабилизации этой неустойчивости.

(№ 369/5277. Поступила в Редакцию 28/II 1969 г. Полный текст 0,4 а. л., 4 рис., 7 библиографических ссылок.)

## ЛИТЕРАТУРА

1. Е. М. Мороз. «Докл. АН СССР», 108, 436 (1956).
2. Е. Мороз, М. Рабинович. Proc. CERN Symposium, 1, 547 (1956); Е. М. Мороз, М. С. Рабинович. «Приборы и техника эксперимента», № 1, 15 (1957).
3. R. Livingston. Industr. and Engng Chem., 48, 1231 (1956).

УДК 621.384.633.5/.6

$$\begin{aligned} R_{i+1} &= R_i C_i + r_i (c_i C_i - s_i S_i) + \\ &+ \sqrt{r_i^2 - [r_i (s_i C_i + c_i S_i) - R_i S_i]^2}; \end{aligned} \quad (2)$$

$$\gamma_{i+1} = \gamma_i + w_i;$$

$$s_{i+1} = \left( s_i C_i + c_i S_i - \frac{R_i}{r_i} S_i \right) \sqrt{(\gamma_i^2 - 1)/(\gamma_{i+1}^2 - 1)}. \quad (3)$$

Здесь  $\gamma_i = E_i/E_0$ ;  $E_0$  — энергия покоя;  $E_i$  — полная энергия иона в  $i$ -м секторе;  $r_i$  — радиус кривизны траектории в единицах  $E_0/ZeB$ ,  $Ze$  — заряд иона;  $s_i = \sin \alpha_i$ ;  $c_i = \cos \alpha_i$ ;  $R_i, \alpha_i$  — соответственно радиус-вектор и угол наклона траектории к окружности радиуса  $R_i$  на входе в  $i$ -й сектор;  $w_i = \frac{\Delta W}{E_0}$ ,  $\Delta W$  — прирост энергии частицы в ускоряющем промежутке, который считается расположенным на выходе из  $i$ -го сектора;  $S_i = \sin \Delta \theta_i$ ;  $C_i = \cos \Delta \theta_i$ ;  $\Delta \theta_i$  — азимутальная протяженность  $i$ -го сектора.

В качестве примера применения рассматриваемого метода вычислена плавно разворачивающаяся спиральная траектория иона в трехсекторном циклотроне с одним  $60^\circ$ -ным дуантом.

(№ 370/5277. Поступила в Редакцию 15/IV 1969 г. Полный текст 0,35 а. л., 5 рис.)

УДК 621.384.6.01

Математическая задача заключается в решении линеаризованного кинетического уравнения для функции распределения частиц  $\Psi(x, x, \Omega, \theta t)$ :

$$\begin{aligned} \frac{\partial \Psi}{\partial t} + \Omega \frac{\partial \Psi}{\partial \theta} + \dot{x} \frac{\partial \Psi}{\partial x} - (Q^2 \Omega^2 x + \mu x^2 + \eta x^3) \frac{\partial \Psi}{\partial \dot{x}} = \\ = -\frac{e}{m} [M(\theta, t) + \Delta(\theta, t)] \frac{\partial \Psi_0}{\partial x}, \end{aligned} \quad (1)$$